

Tabulka 9.3 – Součinitel λ_1 pro standardní kolejovou dopravu

L	EC Mix
0,5	1,60
1,0	1,60
1,5	1,60
2,0	1,46
2,5	1,38
3,0	1,35
3,5	1,17
4,0	1,07
4,5	1,02
5,0	1,03
6,0	1,03
7,0	0,97
8,0	0,92
9,0	0,88
10,0	0,85
12,5	0,82
15,0	0,76
17,5	0,70
20,0	0,67
25,0	0,66
30,0	0,65
35,0	0,64
40,0	0,64
45,0	0,64
50,0	0,63
60,0	0,63
70,0	0,62
80,0	0,61
90,0	0,61
100	0,60

Tabulka 9.4 – Součinitel λ_1 pro expresní vícevozové jednotky, podzemní dráhu a pro kolejovou dopravu s 25 t nápravami

	Expresní vícevozové jednotky a podzemní dráha	Kolejová doprava s 25 t nápravami	
L	Typ 9	Typ 10	Mix 25 t
0,5	0,97	1,00	1,65
1,0	0,97	1,00	1,65
1,5	0,97	1,00	1,65
2,0	0,97	0,99	1,64
2,5	0,95	0,97	1,55
3,0	0,85	0,94	1,51
3,5	0,76	0,85	1,31
4,0	0,65	0,71	1,16
4,5	0,59	0,65	1,08
5,0	0,55	0,62	1,07
6,0	0,58	0,63	1,04
7,0	0,58	0,60	1,02
8,0	0,56	0,60	0,99
9,0	0,56	0,55	0,96
10,0	0,56	0,51	0,93
12,5	0,55	0,47	0,90
15,0	0,50	0,44	0,92
17,5	0,46	0,44	0,73
20,0	0,44	0,43	0,68
25,0	0,40	0,41	0,65
30,0	0,37	0,42	0,64
35,0	0,36	0,44	0,65
40,0	0,35	0,46	0,65
45,0	0,35	0,47	0,65
50,0	0,36	0,48	0,66
60,0	0,39	0,48	0,66
70,0	0,40	0,49	0,66
80,0	0,39	0,49	0,66
90,0	0,39	0,48	0,66
100,0	0,40	0,48	0,66

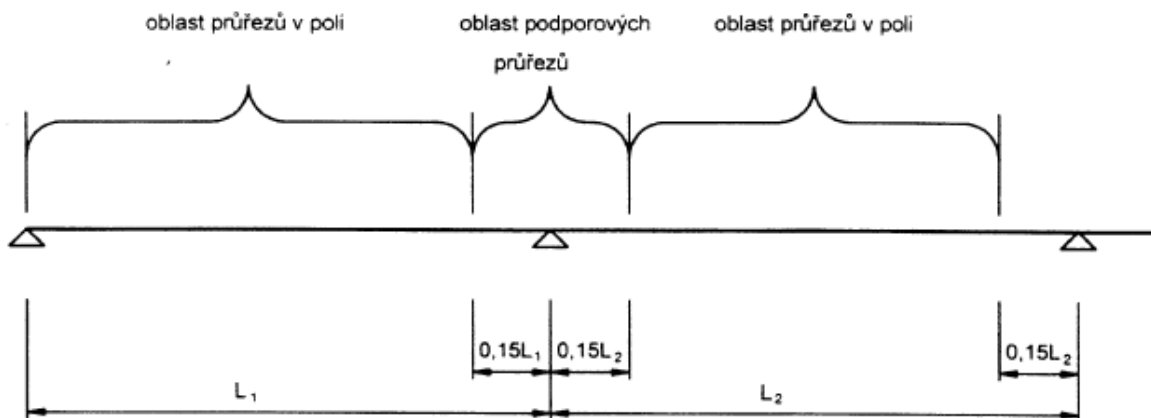
(4) Pro stanovení λ_1 se kritická délka přičinkové čáry má uvažovat následovně:

a) pro momenty:

- pro prostě podepřené pole: rozpětí L_i ;
- pro průřezy v poli spojitých mostů: rozpětí L_i uvažovaného pole, viz obrázek 9.7;
- pro podporové průřezy spojitých mostů: průměr rozpěti sousedních polí L_i a L_{i+1} u podpory, viz obrázek 9.7;
- pro příčníky podpirající kolejové nosníky (nebo podélníky): součet rozpěti dvou sousedních polí kolejových nosníků (nebo podélníků), podepřených příčníkem;
- pro plech mostovky podepřený pouze příčníky nebo příčními žebry (bez podélných prvků) a pro tyto příčné nosné prvky: délka přičinkové čáry průhybu (při zanedbání všech částí, které vedou ke zvednutí) s uvázením tuhosti kolejnic na roznesení zatížení. Pro příčníky vzdálené od sebe nejvýše 750 mm se může tato délka uvažovat jako dvojnásobek vzdálenosti příčníků +3 m.

b) pro smyk u prostě podepřených polí a spojitéch polí:

- pro podporový průřez: rozpětí L_i uvažovaného pole, viz obrázek 9.7;
- pro průřez v polí: $0,4 \times$ rozpětí L_i uvažovaného pole, viz obrázek 9.7.



Obrázek 9.7 – Lokalizace průřezu v polí a v podpoře

(5) Součinitel λ_2 se má stanovit z tabulky 9.5.

Tabulka 9.5 – Hodnoty součinitele λ_2

Doprava za rok [10^6 t/kolej]	5	10	15	20	25	30	35	40	50
λ_2	0,72	0,83	0,90	0,96	1,00	1,04	1,07	1,10	1,15

(6) Součinitel λ_3 se má stanovit z tabulky 9.6.

Tabulka 9.6 – Hodnoty součinitele λ_3

Návrhová životnost [roky]	50	60	70	80	90	100	120
λ_3	0,87	0,90	0,93	0,96	0,98	1,00	1,04

(7) Součinitel λ_4 se má stanovit z tabulky 9.7.

Tabulka 9.7 – Hodnoty součinitele λ_4

$\Delta\sigma_1/\Delta\sigma_{1+2}$	1,00	0,90	0,80	0,70	0,60	0,50
λ_4	1,00	0,91	0,84	0,77	0,72	0,71

$\Delta\sigma_1$ je rozkmit napěti v posuzovaném průřezu od zatěžovacího modelu 71 na jedné kolejí;
 $\Delta\sigma_{1+2}$ rozkmit napěti ve stejném průřezu od zatěžovacího modelu 71 podle EN 1991-2 na dvou kolejích.

POZNÁMKA Tabulka 9.7 platí pouze v případě, že $\Delta\sigma_1$ a $\Delta\sigma_{1+2}$ mají stejně znaménko.

(8) Hodnoty součinitele λ_4 v tabulce 9.7 jsou určeny za předpokladu, že se 12 % z celkové dopravy na obou kolejích setká na mostě. Jestliže je procento setkání dopravy na mostě jiné, má se hodnota součinitele λ_4 stanovit z výrazu:

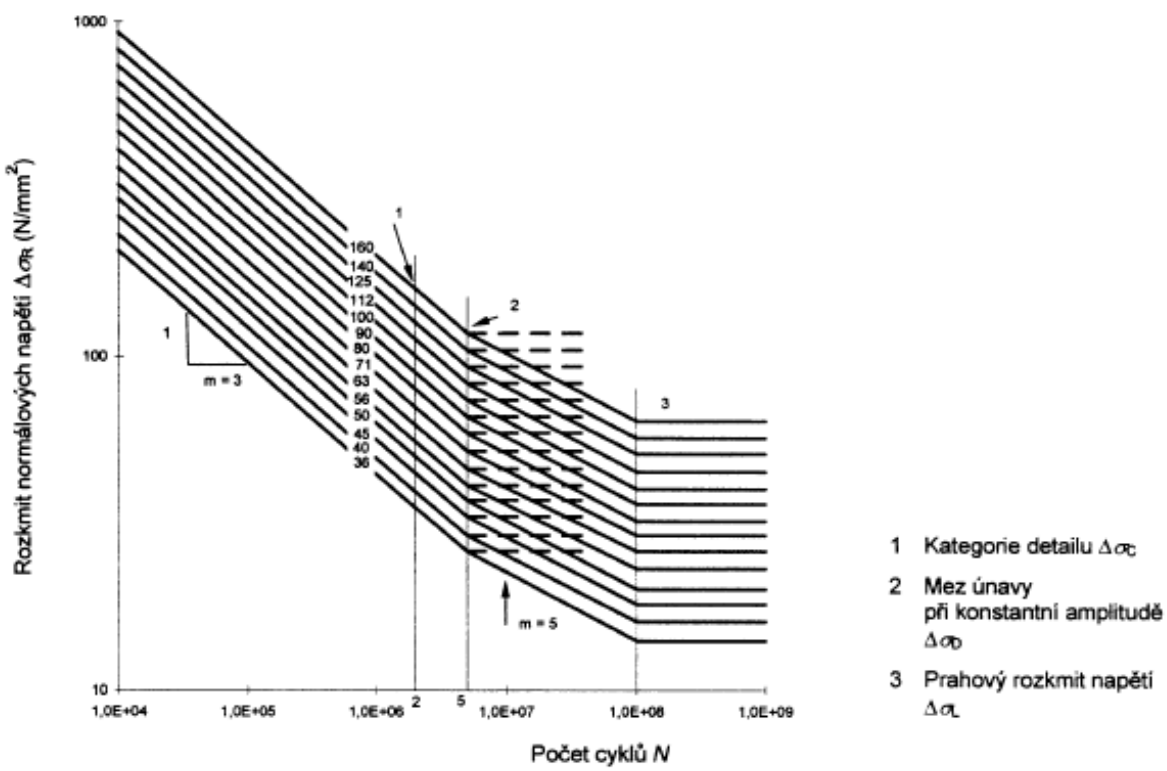
$$\lambda_4 = \sqrt{n + [1 - n] [a^5 + (1-a)^5]} \quad (9.14)$$

kde $a = \Delta\sigma_1/\Delta\sigma_{1+2}$

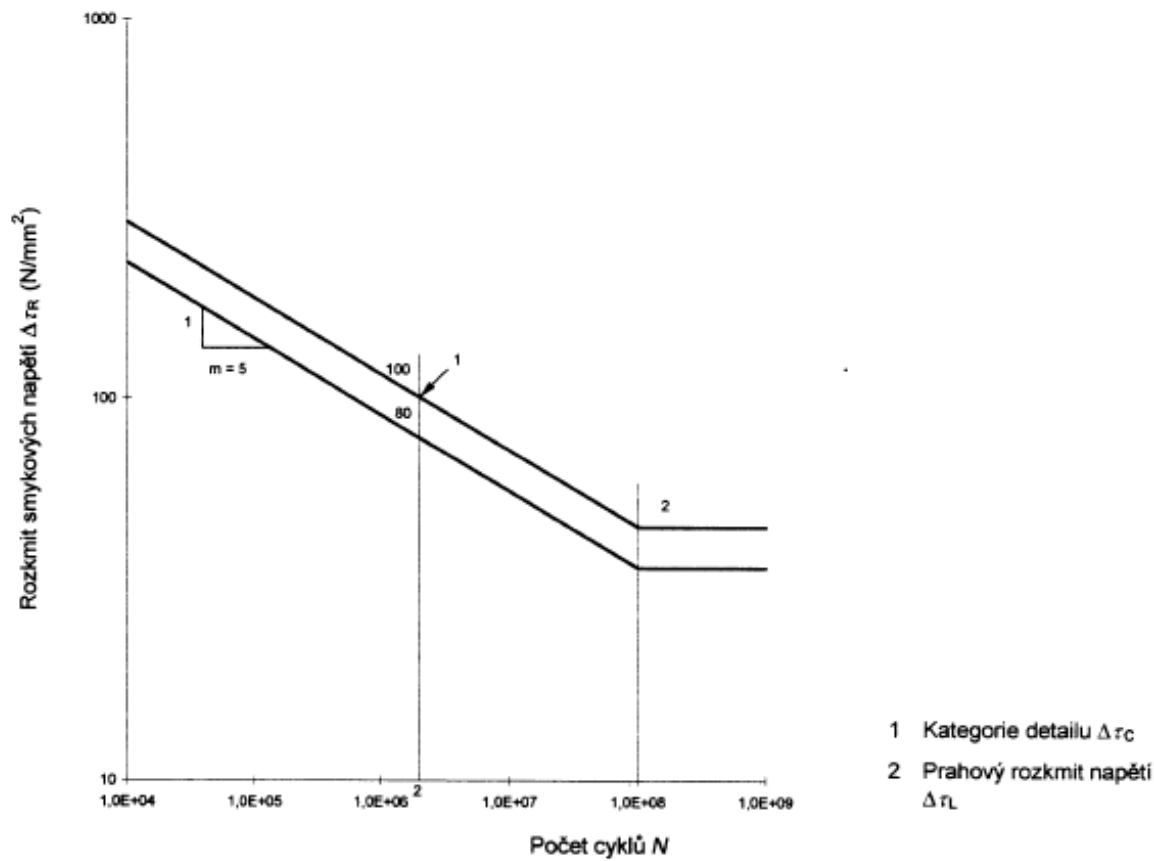
n je procento setkání dopravy na mostě.

(9) Hodnota součinitele λ nemá být větší než λ_{\max} :

$$\lambda_{\max} = 1,4 \quad (9.15)$$



Obrázek 7.1 – Křivky únavové pevnosti pro rozkmity normálových napětí



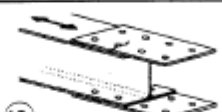
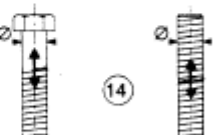
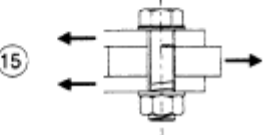
Obrázek 7.2 – Křivky únavové pevnosti pro rozkmity snykových napětí

Tabulka 8.1 – Ploché prvky a nesvařované detaily

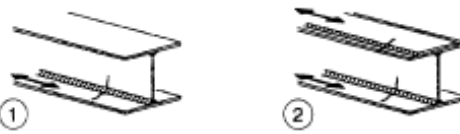
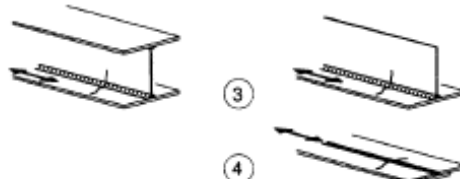
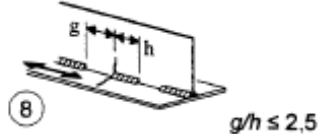
Kategorie detailu	Konstrukční detail	Popis	Požadavky
160	POZNÁMKA Křivka únavové pevnosti pro kategorii 160 je nejvyšší. Žádný detail nemůže mít lepší únavovou pevnost při libovolném počtu cyklů.	 <p>Válcované a tvářené výrobky: 1) Plechy a široká ocel; 2) Válcované průřezy; 3) Bezešvé duté pravoúhlé nebo kruhové průřezy.</p>	<u>Detaile 1) až 3):</u> Ostré hrany, povrchové a válcovací chyby se odstraní broušením do dosažení hladkého přechodu. <u>Detaile 4) až 5):</u> 4) Všechny viditelné nerovnosti hrany se odstraní. Řezané plochy se opracují nebo obrousí a všechny otřepy se odstraní. Všechny rýhy po opracování – např. po broušení – mohou být pouze ve směru namáhání. <u>Detaile 6) a 7):</u> Vystupující hrany se upraví broušením (sklon s 1/4) nebo uváží pomocí vhodného součinitele koncentrace napětí. Opravy pomocí vyplnění svarem nejsou přípustné.
140		<p>Stříhané nebo kyslikem řezané plochy:</p> <p>4) Stříhaný nebo strojně kyslikem řezaný materiál s následnou úpravou.</p>	4) Všechny viditelné nerovnosti hrany se odstraní. Řezané plochy se opracují nebo obrousí a všechny otřepy se odstraní.
125		<p>5) Materiál se strojně kyslikem řezanými hranami s mělkými a pravidelnými stopami po řezání nebo ručně kyslikem řezaný materiál s následnou úpravou všech nepravidelností na pálených hranách.</p> <p>Kvalita strojního řezání kyslikem podle EN 1090.</p>	Vystupující hrany se upraví broušením (sklon s 1/4) nebo uváží pomocí vhodného součinitele koncentrace napětí. Opravy pomocí vyplnění svarem nejsou přípustné.
100 m = 5		<p>6) a 7) Válcované a tvářené výrobky jako v detailech 1), 2), 3)</p>	<u>Detaile 6) a 7):</u> Δr se vypočte ze vztahu: $r = \frac{V S(t)}{I t}$
112		<p>8) Souměrný spoj se dvěma přiložkami s předpjatými vysokopevnostními šrouby nebo předpjatými injektovanými šrouby.</p>	<p>8) $\Delta \sigma$ se vypočte pro neoslabený průřez.</p> <p><u>(Detaile 8) až 13):</u> Všeobecně pro šroubové spoje:</p>
90		<p>9) Spoj se dvěma přiložkami s lícovanými šrouby nebo nepředpjatými injektovanými šrouby.</p>	<p>9) $\Delta \sigma$ se vypočte pro oslabený průřez.</p> <p>Vzdálenost od konce: $e_1 \geq 1,5 d$ Vzdálenost od okraje: $e_2 \geq 1,5 d$ Rozteč: $p_1 \geq 2,5 d$ $p_2 \geq 2,5 d$ Značky podle EN 1993-1-8, obrázek 3.1</p>
		<p>10) Spoj s jednou přiložkou s předpjatými vysokopevnostními šrouby nebo předpjatými injektovanými šrouby.</p>	<p>10) $\Delta \sigma$ se vypočte pro neoslabený průřez.</p>

(pokračování)

Tabulka 8.1 (dokončení)

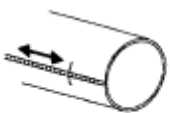
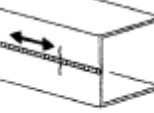
Kategorie detailu	Konstrukční detail		Popis	Požadavky	
90			11) Nosný prvek s dírami pro šrouby při namáhání ohybem a osovými silami	11) $\Delta\sigma$ se vypočte pro oslabený průřez.	Vzdálenost od konce: $e_1 \geq 1,5 d$ Vzdálenost od hrany: $e_2 \geq 1,5 d$
80			12) Spoj s jednou přiložkou s licovanými šrouby nebo nepředpjatými injektovanými šrouby.	12) $\Delta\sigma$ se vypočte pro oslabený průřez.	Rozteče: $p_1 \geq 2,5 d$ $p_2 \geq 2,5 d$
50			13) Spoj s jednou přiložkou nebo souměrný spoj se dvěma přiložkami s nepředpjatými šrouby v dírách s normální výškou. Střídavé zatištění není přípustné.	13) $\Delta\sigma$ se vypočte pro oslabený průřez.	Značky podle obrázku 3.1 v EN 1993-1-8
50	Součinitel velikosti pro $\Phi > 30\text{mm}$: $k_s = (30/\phi)^{0,25}$		14) Šrouby a tyče s válcovaným nebo řezaným závitem namáhané tahem. Pro velké průměry (kotevní šrouby) se vliv velikosti určí pomocí součinitele k_s .	14) $\Delta\sigma$ se vypočte pro účinnou plochu šroubu v tahu. Ohyb a tah v důsledku páčení a jinak vyvozená ohybová napětí je nutné uvažovat. Pro předpjaté šrouby se má uvážit redukce rozkmitu napětí.	
100 $m = 5$			<u>Jednostřížné nebo dvojstřížné šrouby ve smyku</u> 15) Závit mimo rovinu střihu – Licované šrouby – Obyčejné šrouby bez střídavého zatištění (šrouby třídy 5.6, 8.8 nebo 10.9).	15) $\Delta\tau$ se vypočte pro plochu dříku šroubu.	

Tabulka 8.2 – Složené průřezy s podélnými svary

Kategorie detailu	Konstrukční detail	Popis	Požadavky
125		Nepřerušované podélné svary: 1) Automatové oboustranné tupé svary. 2) Automatové koutové svary. Konec krycích desek se kontroluje jako detail 6) nebo 7) v tabulce 8.5.	<u>Detailey 1) a 2):</u> Nejsou povolená žádná přerušení svařování s výjimkou oprav provedených specialistou, u kterých kontrola potvrdí správnost provedení opravy.
112		3) Automatové oboustranné koutové nebo tupé svary s místy přerušení svařování. 4) Automatové jednostranné svary provedené na spojité podložce bez míst přerušení svařování.	4) Jestliže tento detail obsahuje místa přerušení svařování, použije se kategorie detailu 100.
100		5) Ruční koutové nebo tupé svary. 6) Ruční nebo automatové jednostranné tupé svary, zvláště u truhlíkových nosníků.	5), 6) Je důležité velmi dobré sličování pásnice a plechu stojiny. Úprava hrany stojiny musí umožnit dobrý souvislý průvar kořenové oblasti.
100		7) Opravované automatové nebo ruční koutové nebo tupé svary v detailech 1) až 6).	7) Po vybroušení všech viditelných nerovností, provedeném specialistou a po příslušném ověření je možné uplatnit původní kategorii detailu.
80		8) Přerušované podélné koutové svary.	8) $\Delta\sigma$ se vypočte pro normálové napětí v pásnici.
71		9) Podélný tupý svar, koutový svar nebo přerušovaný svar s výřezem o výšce do 60 mm. Pro výřezy o výšce > 60 mm viz detail 1) v tabulce 8.4.	9) $\Delta\sigma$ se vypočte pro normálové napětí v pásnici.
125		10) Podélný tupý svar oboustranně do roviny zabroušený, rovnoběžný se směrem namáhání, 100 % NDT	
112		10) Nezabroušený svar bez míst přerušení svařování.	
90		10) Svar s místy přerušení svařování.	

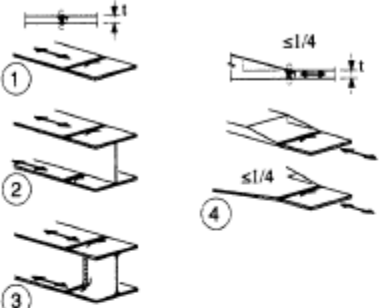
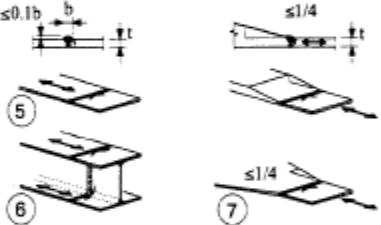
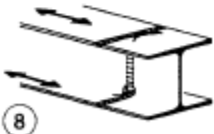
(pokračování)

Tabulka 8.2 (dokončení)

Kategorie detailu	Konstrukční detail	Popis	Požadavky
140		11) Automatový podélný švový svar dutých průřezů bez míst přerušení svařování.	11) Defekty max. v rozsahu tolerancí podle EN 1090. Tloušťka stěny: $t \leq 12,5$ mm.
125		11) Automatový podélný švový svar dutých průřezů bez míst přerušení svařování.	11) Tloušťka stěny: $t > 12,5$ mm.
90		11) Svar s místy přerušení svařování.	

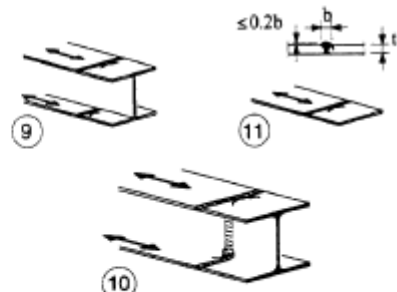
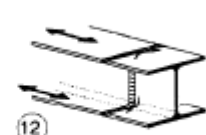
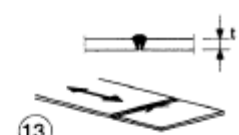
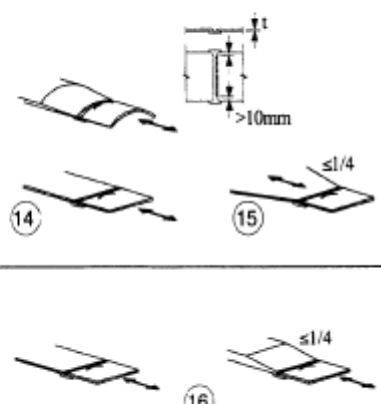
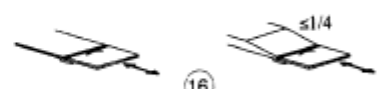
Pro detaily 1 až 11 vyrobené plně mechanizovaným svařováním se použijí kategorie detailů pro automatové svařování.

Tabulka 8.3 – Příčné tupé svary

Kategorie detailu	Konstrukční detail		Popis	Požadavky
112	součinitel velikosti pro $t > 25\text{mm}$: $k_s = (25/t)^{0,2}$		<u>Bez podložky:</u> 1) Příčné styky plechů a pásů. 2) Styky pásů a stojin nosníků, svařených z plechu před sestavením nosníku. 3) Tupé svary ve styku celého řezu válcovaného průřezu bez výřezů ve svarech. 4) Příčné styky plechů a pásů proměnné šířky nebo tloušťky se sklonem $\leq \frac{1}{4}$.	Všechny svary zabrousit do roviny plechu rovnoběžně se směrem šipky. Je potřebné použít a odborně odstranit přiložky pro začátek a výběh svaru, hrany plechu se obrouší ve směru namáhání. Svařovat z obou stran, kontrola NDT. <u>Detail 3):</u> Použít pouze pro stykování rozřezaných a opět svařených válcovaných průřezů.
90	součinitel velikosti pro $t > 25\text{mm}$: $k_s = (25/t)^{0,2}$		5) Příčné styky plechů nebo pásů. 6) Tupé svary ve styku celého řezu válcovaného průřezu bez výřezů ve svarech. 7) Příčné styky plechů a pásů proměnné šířky nebo tloušťky se sklonem $\leq \frac{1}{4}$. Přechody svarů bezvrubě opracovat.	Převýšení svaru není větší než 10% šířky svaru při hladkém přechodu svaru do roviny základního materiálu. Je potřebné použít a odborně odstranit přiložky pro začátek a výběh svaru, hrany plechu se obrouší ve směru namáhání. Svařovat z obou stran, kontrola NDT. <u>Detailey 5 a 7:</u> Svařovat v poloze shora.
90	součinitel velikosti pro $t > 25\text{mm}$: $k_s = (25/t)^{0,2}$		8) Jako detail 3), ale s výřezy ve svaru.	Všechny svary zabrousit do roviny plechu rovnoběžně se směrem šipky. Je potřebné použít a odborně odstranit přiložky pro začátek a výběh svaru, hrany plechu se obrouší ve směru namáhání. Svařovat z obou stran, kontrola NDT. Válcované průřezы stejné velikosti a se stejnými tolerancemi.

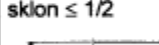
(pokračování)

Tabulka 8.3 (pokračování)

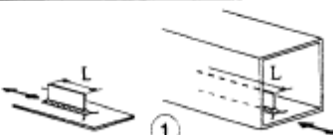
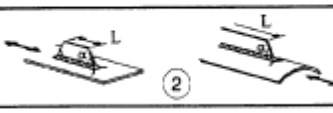
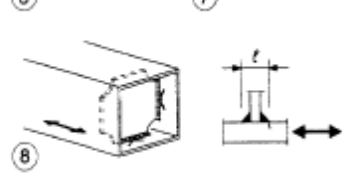
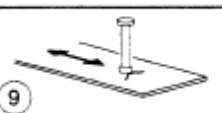
Kategorie detailu	Konstrukční detail		Popis	Požadavky
80	součinitel velikosti pro $t > 25\text{mm}$: $k_s = (25/t)^{0,2}$		9) Příčné styky nosníků svařovaných z plechu bez výrezů ve svarech. 10) Tupé svary ve styku celého řezu válcovaného průřezu s výřezy ve svarech. 11) Příčné styky plechů, pásov, válcovaných průřezů nebo nosníků svařených z plechů.	Převýšení svaru není větší než 20 % šířky svaru při hladkém přechodu svaru do roviny základního materiálu. Nezabroušené svary. Je potřebné použít a odborně odstranit desky pro začátek a výběh svaru, hrany plechu se obrousí ve směru namáhání. Svařovat z obou stran, kontrola NDT. <u>Detail 10:</u> Převýšení svaru není větší než 20 % šířky svaru při hladkém přechodu svaru do roviny základního materiálu.
63			12) Tupé svary ve styku celého řezu válcovaného průřezu bez výřezy ve svarech.	Je potřebné použít a odborně odstranit desky pro začátek a výběh svaru, hrany plechu se obrousí ve směru namáhání. Svařovat z obou stran.
36			13) Jednostranné tupé svary.	13) Bez podložky.
71	součinitel velikosti pro $t > 25\text{mm}$: $k_s = (25/t)^{0,2}$		13) Jednostranné tupé svary, jestliže plný průvar je kontrolován vhodnou NDT.	
71	součinitel velikosti pro $t > 25\text{mm}$: $k_s = (25/t)^{0,2}$		<u>Svary na podložce:</u> 14) Příčný styk. 15) Příčný tupý svar prvků proměnné šířky nebo tloušťky se sklonem $\leq \frac{1}{4}$. Plati též pro zakřivené plechy.	<u>Detaily 14) a 15):</u> Koutové svary upevňující podložku se ukončí ve vzdálenosti $\geq 10\text{ mm}$ od hran namáhaného plechu. Připojovací svary na vnitřní straně úkosu tupého svaru.
50	součinitel velikosti pro $t > 25\text{mm}$: $k_s = (25/t)^{0,2}$		16) Příčný tupý svar na trvalé podložce u prvků proměnné šířky nebo tloušťky se sklonem $\leq \frac{1}{4}$. Plati též pro zakřivené plechy.	16) Jestliže se koutové svary podložky ukončí ve vzdálenosti $< 10\text{ mm}$ od hrany plechu, nebo když není možné zaručit dobré sestavení spoje.

(pokračování)

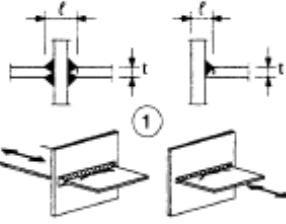
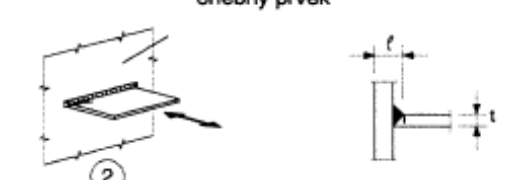
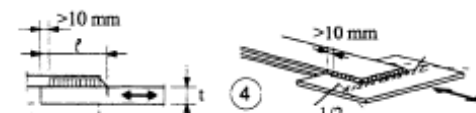
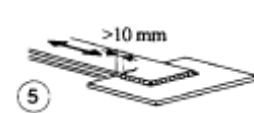
Tabulka 8.3 (dokončení)

Kategorie detailu	Konstrukční detail	Popis	Požadavky
71	součinitel velikosti pro $t > 25\text{mm}$ a/nebo pro uvážení excentricity: $k_s = \left(\frac{25}{t_1} \right)^{0.2} \sqrt{\left(1 + \frac{6e}{t_1} \frac{t_1^{15}}{t_1^{15} + t_2^{15}} \right)}$  $t_2 \geq t_1$	sklon $\leq 1/2$  	17) Příčný tupý svar, různé tloušťky bez přesazení, těžiště osy shodné.
Jako detail 1 v tabulce 8.5		18) Příčný tupý svar v místě křížení pásnic	<u>Detaily 18) a 19)</u> Únavová pevnost spojitéch dílů se posuzuje podle detailů 4 nebo 5 tabulky 8.4.
Jako detail 4 v tabulce 8.4		19) S přechodovým poloměrem podle detailu 4 tabulky 8.4.	

Tabulka 8.4 – Přivařené prvky a výztuhy

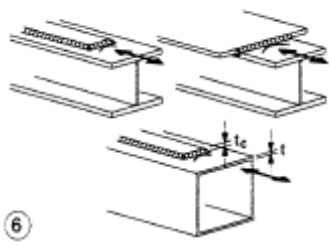
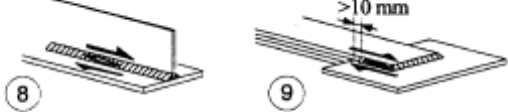
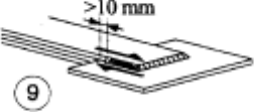
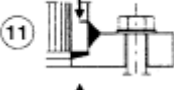
Kategorie detailu	Konstrukční detail		Popis	Požadavky
80	$L \leq 50\text{mm}$	 	<u>Podélně připojené prvky:</u> 1) Kategorie detailu se mění podle délky připojení L.	Tloušťka připojeného prvku musí být menší než jeho výška. Jestliže není, viz detaily 5 nebo 6 v tabulce 8.5.
71	$50 < L \leq 80\text{mm}$			
63	$80 < L \leq 100\text{mm}$			
56	$L > 100\text{mm}$			
71	$L > 100\text{mm}$ $\alpha < 45^\circ$		2) Podélně připojené prvky k plechu nebo trubce.	
80	$r > 150\text{mm}$	 zesílený	3) Podélný styčníkový plech přivařený koutovým svarem, v přechodu k plechu nebo trubce s opracováním o poloměru r, konec koutového svaru je zesílen (plný průvar), délka zesílení svaru > r.	<u>Detaily 3) a 4):</u> Hladký přechod o poloměru r vytovený před svařením strojním opracováním nebo řezáním kyslikem původního styčníkového plechu, potom se svarová plocha obrouší rovnoběžně se směrem šípky, tak aby úpatí příčného svaru bylo plně odstraněno.
90	$\frac{r}{L} \geq \frac{1}{3}$ nebo $r > 150\text{mm}$	 	4) Styčníkový plech, přivařený k hraně plechu nebo k pásnici nosníku.	
71	$\frac{1}{6} \leq \frac{r}{L} \leq \frac{1}{3}$			
50	$\frac{r}{L} < \frac{1}{6}$	L: délka připoje jako v detailu 1,2 nebo 3		
40			5) Svařeno bez zaobleného přechodu.	
80	$t \leq 50\text{mm}$	 	<u>Příčně připojené prvky:</u> 6) Prvky přivařené k plechu. 7) Svislé výztuhy přivařené k válcovanému nebo svařovanému nosníku.	<u>Detaily 6) a 7):</u> Konce svarů se pečlivě zabrouší pro odstranění všech možných vrubů. 7) $\Delta\sigma$ se vypočte s použitím hlavních napětí, je-li výztuha ukončena na stojině, viz příklad vlevo.
71	$50 < t \leq 80\text{mm}$		8) Diafragma komorových nosníků přivařené k pásem nebo ke stojině. Nelze použít pro malé duté průřezy. Hodnoty platí také pro kruhové výztuhy.	
80			9) Účinek přivařených spřahovacích trnů na základní materiál.	

Tabulka 8.5 – Nosné svarové spoje

Kategorie detailu	Konstrukční detail			Popis	Požadavky		
80	$t < 50 \text{ mm}$	všechny tloušťky t (mm)		Křížové a T spoje: 1) Vady v přechodu svaru do základního materiálu u plně provářených tupých svarů a všech částečně provářených spojů.	1) Kontrolované svary bez defektů a přesazeni větších než tolerance podle EN 1090. 2) $\Delta\sigma$ se vypočte s použitím modifikovaných jmenovitých napětí 3) U částečně provářených svarů se požaduje dvojí posouzení na únavu: – na porušení v kořeni svaru pro napětí definovaná v kapitole 5 za použití kategorie detailu 36* pro $\Delta\sigma_w$ a kategorie 80 pro $\Delta\tau_w$. – na porušení v přechodu svaru do základního materiálu pro rozkmit napětí $\Delta\sigma$ v nosném plechu.		
71	$50 < t \leq 80$						
63	$80 < t \leq 100$						
56	$100 < t \leq 120$						
56	$t > 120$						
50	$120 < t \leq 200$ $t > 200$						
45	$200 < t \leq 300$ $t > 300$						
40	$t > 300$						
Stejně jako pro detail 1	ochebný prvek			2) Vady v přechodu svaru do základního materiálu u okraje plechu, se špičkovým napětím na konci svaru, způsobeným lokální deformací plechu.	Přesazeni nosných plechů nesmí být větší než 15 % tloušťky středního plechu. <u>Detailey 1 až 3):</u> Přesazeni nosných plechů nesmí být větší než 15 % tloušťky středního plechu.		
36*							
Stejně jako pro detail 1	 namáhaná plocha hlavního plechu: sklon = 1/2			Přeplátované svarové spoje: 4) Přeplátovaný spoj s koutovými svary.	4) $\Delta\sigma$ v hlavním plechu se vypočte pro plochu nosného průsezu podle obrázku. 5) $\Delta\sigma$ se vypočte v přeplátovaném plechu. <u>Detailey 4) a 5):</u> Svary jsou ukončeny více než 10 mm od hrany plechu. Porušení svaru smykkem se posuzuje podle detailu 8).		
45*				Přeplátování: 5) Přeplátovaný spoj s koutovými svary.			

(pokračování)

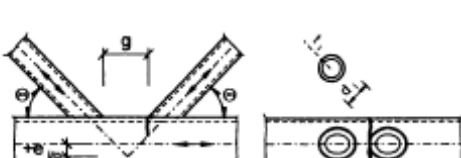
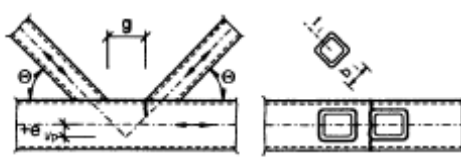
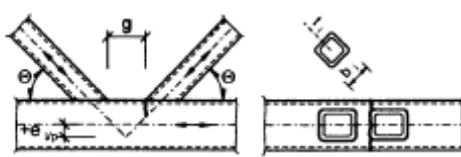
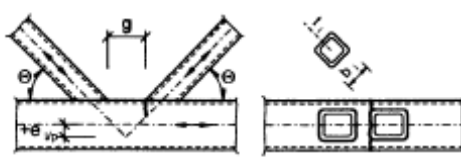
Tabulka 8.5 (dokončení)

Kategorie detailu	Konstrukční detail			Popis	Požadavky
	$t_c < t$	$t_c \geq t$			
56*	$t \leq 20$	-	 Diagram 6: Krycí pásnice výlcovaných a svařovaných nosníků.	Krycí pásnice výlcovaných a svařovaných nosníků:	6) Jestliže je krycí pásnice širší než pásnice, je čelní svar potřebný. Tento čelní svar je potřebné opatrně obrousit pro odstranění vrubů.
50	$20 < t \leq 30$	$t \leq 20$		6) Koncové oblasti jednoduchých nebo složených krycích pásnic s čelním svarem nebo bez čelního svaru.	Minimální délka krycí pásnice je 300 mm. Pro kratší připoje se bere vliv velikosti podle detailu 1).
45	$30 < t \leq 50$	$20 < t \leq 30$			
40	$t > 50$	$30 < t \leq 50$			
36	-	$t > 50$	 Diagram 6: Krycí pásnice výlcovaných a svařovaných nosníků.		
56	zesílený příčný čelní svar			7) Krycí pásnice výlcovaných a svařovaných nosníků. $5t_c$ je minimální délka zesílení svaru.	7) Příčný čelní svar zabrousit do roviny. Kromě toho, je-li $t_c > 20\text{mm}$, zabrousit čelo krycí pásnice se sklonem $< \frac{1}{4}$.
80 $m = 5$	 Diagram 8: Průběžné koutové svary.		 Diagram 9: Přeplátovaný spoj s koutovými svary.	8) Průběžné koutové svary přenášející smykový tok, jako jsou krční svary spojující pásnici a stojinu svařovaného nosníku. 9) Přeplátovaný spoj s koutovými svary.	8) Δr se vypočte pro plochu krčního svaru. 9) Δr se vypočte pro plochu krčního svaru s uvážením celkové délky svaru. Konce svarů více než 10 mm od hrany plechu, viz také detaily 4) a 5).
90 $m = 8$ viz EN 1994-2	 Diagram 10: Přivařený smykový spráhovací trm.			Přivařený smykový spráhovací trm: 10) Pro sprážené konstrukce	10) Δr se vypočte pro jmenovitý průřez spárovacího trmu.
71	 Diagram 11: Spoj trubkového hrdla s 80 % provářenými tupými svary.		 Diagram 12: Spoj trubkového hrdla s koutovými svary.	11) Spoj trubkového hrdla s 80 % provářenými tupými svary.	11) Přechod svaru do základního materiálu zabrousit. Δr se vypočte pro průřez trubky.
40	 Diagram 12: Spoj trubkového hrdla s koutovými svary.			12) Spoj trubkového hrdla s koutovými svary.	12) Δr se vypočte pro průřez trubky.

Tabulka 8.6 – Duté průřezy ($t \leq 12,5$ mm)

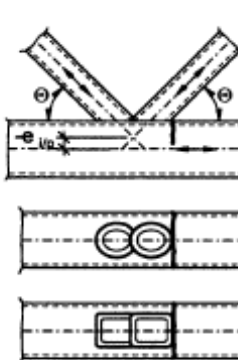
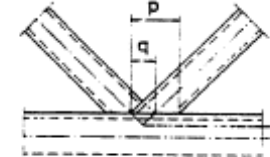
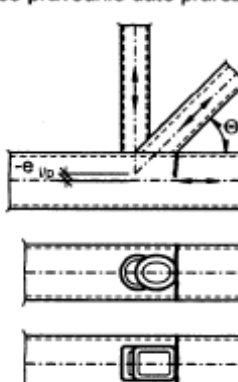
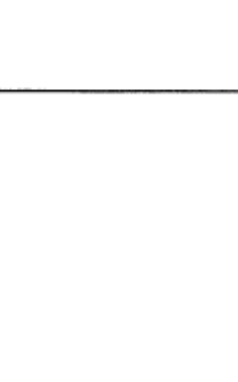
Kategorie detailu	Konstrukční detail			Popis	Požadavky
71				1) Spoj trubky s plechem, trubky zploštěné, tupý svar (X-drážkovaný).	1) $\Delta\sigma$ se vypočte pro trubku. Plati pouze pro trubky o průměru menším než 200 mm.
71	$\alpha \leq 45^\circ$			2) Spoj trubky s plechem zavařeným do zářezu v trubce.	2) $\Delta\sigma$ se vypočte pro trubku. Porušení svaru smykkem se ověří podle detailu 8) v tabulce 8.5.
63	$\alpha > 45^\circ$			Diry na konci zářezu.	
71	③			Příčné tupé svary: 3) Tupý svarový spoj po celém obvodu kruhových dutých průřezů.	<u>Detaily 3) a 4):</u> Převýšení svaru $\leq 10\%$ šířky svaru, hladký přechod do základního materiálu. Svary provedené v poloze shora, kontrolované a bez defektů větších než tolerance podle EN 1090.
56	④			4) Tupý svarový spoj po celém obvodu pravoúhlých dutých průřezů.	Detaily s tloušťkou stěny větší než 8 mm je možné zařadit o 2 kategorie výše.
71				Přivařené připojené prvky: 5) Kruhový nebo pravoúhlý dutý průřez, přivařený koutovým svarem k jinému průřezu.	5) Nenamáhané svary. Šířka rovnoběžná se směrem napětí ≤ 100 mm. Pro jiné případy viz tabulku 8.4.
50				Svařované styky: 6) Kruhové duté průřezy svařené tupým svarem po celém obvodu s vloženým plechem.	<u>Detaily 6) a 7):</u> Nosné svary. Svary kontrolované a bez defektů větších než tolerance podle EN 1090.
45				7) Pravoúhlé duté průřezy svařené tupým svarem po celém obvodu s vloženým plechem.	Detaily s tloušťkou stěny větší než 8 mm je možné zařadit o 1 kategorii výše.
40				8) Kruhové duté průřezy svařené koutovým svarem po celém obvodu s vloženým plechem.	<u>Detaily 8) a 9):</u> Nosné svary. Tloušťka stěny $t \leq 8$ mm.
36				9) Pravoúhlé duté průřezy svařené koutovým svarem po celém obvodu s vloženým plechem.	

Tabulka 8.7 – Styčníky příhradových nosníků

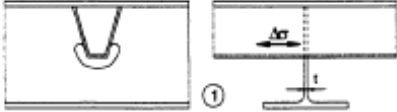
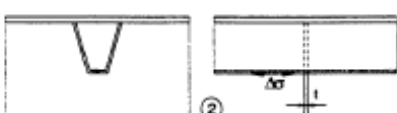
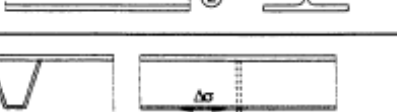
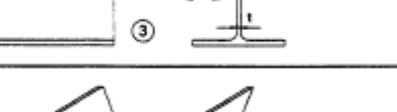
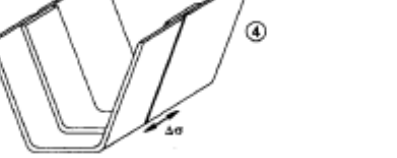
Kategorie detailu	Konstrukční detail		Požadavky
90 $m = 5$	$\frac{t_0}{t_i} \geq 2,0$	Styčníky s mezerou: Detail 1): Styčníky tvaru K a N, kruhové duté průřezy: 	<u>Detaily 1) a 2):</u> Pásy a příčky se posuzují samostatně. Pro mezilehlé hodnoty poměru t_0/t_i se kategorie detailu určí lineární interpolací. Příčky s tloušťkou stěny $t \leq 8 \text{ mm}$ je možné přivařovat koutovými svařy. $t_0 \text{ a } t_i \leq 8 \text{ mm}$ $35^\circ \leq \theta \leq 50^\circ$ $b_0/t_0 \times t_0/t_i \leq 25$ $d_0/t_0 \times t_0/t_i \leq 25$ $0,4 \leq b/b_0 \leq 1,0$ $0,25 \leq d/d_0 \leq 1,0$ $b_0 \leq 200 \text{ mm}$ $d_0 \leq 300 \text{ mm}$ $-0,5h_0 \leq e_{1p} \leq 0,25h_0$ $-0,5d_0 \leq e_{1p} \leq 0,25d_0$ $e_{1p} \leq 0,02b_0, \text{ nebo}$ $e_{1p} \leq 0,02d_0$ (e_{1p} je excentricita příček z roviny) <u>Detail 2):</u> $0,5(b_0 - b) \leq g \leq 1,1(b_0 - b)$ $g \geq 2t_0$
45 $m = 5$	$\frac{t_0}{t_i} = 1,0$		①
71 $m = 5$	$\frac{t_0}{t_i} \geq 2,0$	Styčníky s mezerou: Detail 2): Styčníky tvaru K a N, pravoúhlé duté průřezy: 	
36 $m = 5$	$\frac{t_0}{t_i} = 1,0$		②

(pokračování)

Tabulka 8.7 (dokončení)

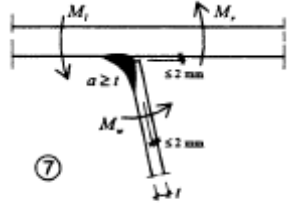
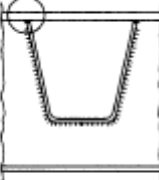
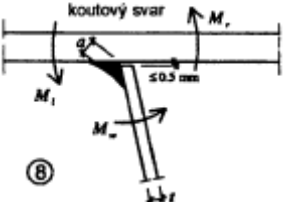
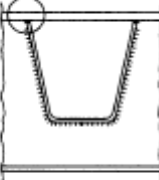
Kategorie detailu		Konstrukční detail	Požadavky
71 $m = 5$	$\frac{t_0}{t_i} \geq 1,4$	Styčníky s překrytím: Detail 3): Styčníky tvaru K, kruhové nebo pravoúhlé duté průřezy: 	<u>Detaily 3) a 4):</u> $30\% p \leq \text{překrytí} \leq 100\% p$ $\text{překrytí} = (q/p) \times 100\%$ Je potřebné samostatně posoudit pásy a příčky. Pro meziklády hodnoty poměru t_0/t_i se kategorie detailu určí lineární interpolací. Příčky s tloušťkou stěny $t \leq 8$ mm je možné přivařovat koutovými svary. $t_0 \text{ a } t_i \leq 8$ mm $35^\circ \leq \theta \leq 50^\circ$ $b_0/t_0 \times t_0/t_i \leq 25$ $d_0/t_0 \times t_0/t_i \leq 25$ $0,4 \leq b_0/b_0 \leq 1,0$ $0,25 \leq d/d_0 \leq 1,0$ $b_0 \leq 200$ mm $d_0 \leq 300$ mm $-0,5h_0 \leq e_{ip} \leq 0,25h_0$ $-0,5d_0 \leq e_{ip} \leq 0,25d_0$ $e_{0,p} \leq 0,02b_0$, nebo $e_{0,p} \leq 0,02d_0$ ($e_{0,p}$ je excentricita příček z roviny) Definice p a q : 
56 $m = 5$	$\frac{t_0}{t_i} = 1,0$		
71 $m = 5$	$\frac{t_0}{t_i} \geq 1,4$	Styčníky s překrytím: Detail 4): Styčníky tvaru N, kruhové nebo pravoúhlé duté průřezy: 	
50 $m = 5$	$\frac{t_0}{t_i} = 1,0$		

Tabulka 8.8 – Ortotropní desky s uzavřenými výztuhami

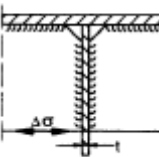
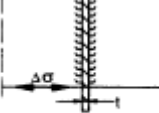
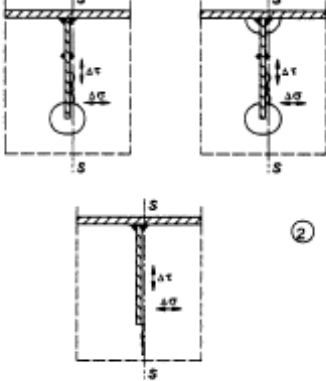
Kategorie detailu	Konstrukční detail		Popis	Požadavky
80	$t \leq 12\text{mm}$		1) Průběžná podélná výztuha s dodatečným výrezem v příčníku.	1) Rozkmit normálových napětí $\Delta\sigma$ se vypočte pro podélnou výztuhu.
71	$t > 12\text{mm}$		2) Průběžná podélná výztuha bez dodatečného výrezu v příčníku.	2) Rozkmit normálových napětí $\Delta\sigma$ se vypočte pro výztuhu.
80	$t \leq 12\text{mm}$		3) Oddělené podélné výztuhy z obou stran příčníku.	3) Rozkmit normálových napětí $\Delta\sigma$ se vypočte pro výztuhu.
71	$t > 12\text{mm}$		4) Plně provárený tupý svar podélné výztuhy na ocelové podložce.	4) Rozkmit normálových napětí $\Delta\sigma$ se vypočte pro výztuhu.
36				
71			5) Plně provárený tupý oboustranný svar podélné výztuhy bez podložky.	5) Rozkmit normálových napětí $\Delta\sigma$ se vypočte pro výztuhy. Stehové svary uvnitř obrysu tupého svaru.
112	Jako detail 1, 2, 4 v tabulce 8.3.			
90	Jako detail 5, 7 v tabulce 8.3.			
80	Jako detail 9, 11 v tabulce 8.3.			
71			6) Kritický průřez stojiny příčníku v důsledku výřezu.	6) Rozkmit napětí v kritickém průřezu se posoudí jako na prolamovaném nosníku. POZNÁMKA Pokud se rozkmit napětí vypočte podle EN 1993-2, 9.4.2.2(3), je možné použít kategorii detailu 112.

(pokračování)

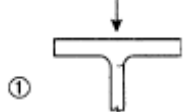
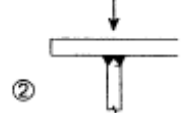
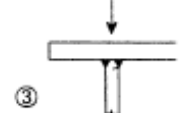
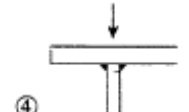
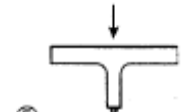
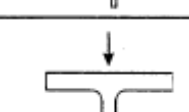
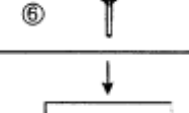
Tabulka 8.8 (dokončení)

Kategorie detailu	Konstrukční detail	Popis	Požadavky
71	 <p>⑦</p>	$\Delta\sigma = \frac{\Delta M_w}{W_w}$ 	<u>Svarový spoj mostovkové desky a trapézové výztuhy nebo výztuhy tvaru V</u> 7) Svar s částečným průvarem při $a \geq t$.
50	 <p>⑧</p>		8) Koutový svar nebo svar s částečným průvarem při $a < t$. 8) Rozkmit normálových napětí se vypočte pro ohyb mostovkové desky.

Tabulka 8.9 – Ortotropní desky s otevřenými výztuhami

Kategorie detailu	Konstrukční detail	Popis	Požadavky
80	$t \leq 12\text{mm}$	 <p>①</p>	1) Spoj průběžné podélné výztuhy s příčníkem. 1) Rozkmit normálových napětí $\Delta\sigma$ se vypočte pro výztuhu.
71	$t > 12\text{mm}$		
56	 <p>②</p>	2) Spoj průběžné podélné výztuhy s příčníkem. $\Delta\sigma = \frac{\Delta M_s}{W_{net,s}}$ $\Delta\tau = \frac{\Delta V_s}{A_{w,net,s}}$ <p>Podle EN 1993-2 se také posoudí rozkmit napětí ve spoji výztuhy.</p>	2) Pro posouzení se použije ekvivalentní rozkmit napětí ve stojině příčníku, který se vypočte pro kombinaci rozkmitu smykového napětí $\Delta\sigma$ a rozkmitu normálového napětí $\Delta\tau$. $\Delta\sigma_{eq} = \frac{1}{2} \left(\Delta\sigma + \sqrt{\Delta\sigma^2 + 4\Delta\tau^2} \right)$

Tabulka 8.10 – Krční spoje pojížděných nosníků

Kategorie detailu	Konstrukční detail	Popis	Požadavky
160		1) Válcované I nebo H průřezy.	1) Rozkmit svislých tlakových napětí $\Delta\sigma_{vert}$ ve stojině od tlaků kol.
71		2) Plně provářený krční tupý svar.	2) Rozkmit svislých tlakových napětí $\Delta\sigma_{vert}$ ve stojině od tlaků kol.
36*		3) Částečně provářený krční tupý svar nebo účinný plně provářený krční tupý svar podle EN 1993-1-8.	3) Rozkmit svislých tlakových napětí $\Delta\sigma_{vert}$ v krčním svaru od tlaků kol.
36*		4) Koutové svary.	4) Rozkmit svislých tlakových napětí $\Delta\sigma_{vert}$ v krčním svaru od tlaků kol.
71		5) Pás z T průřezu s plně provářeným krčním tupým svarem.	5) Rozkmit svislých tlakových napětí $\Delta\sigma_{vert}$ ve stojině od tlaků kol.
36*		6) Pás z T průřezu s částečně provářeným krčním tupým svarem, nebo účinný plně provářený krční tupý svar podle EN 1993-1-8.	6) Rozkmit svislých tlakových napětí $\Delta\sigma_{vert}$ v krčním svaru od tlaků kol.
36*		7) Pás z T průřezu s koutovými svary.	7) Rozkmit svislých tlakových napětí $\Delta\sigma_{vert}$ v krčním svaru od tlaků kol.